

ОРИГИНАЛЬНАЯ СТАТЬЯ

УДК 539.4

<https://doi.org/10.26907/2541-7746.2025.4.744-758>**Упругопластический изгиб пластиноок с центральным
отверстием в трехмерной постановке****А.Е. Максеев¹✉, К.С. Бодягина¹, М.В. Жигалов², В.А. Крысько²**¹*Саратовский государственный технический университет имени Гагарина Ю.А., г. Саратов, Россия*²*Институт гидродинамики им. М.А. Лаврентьева Сибирского отделения Российской академии наук,
г. Новосибирск, Россия*✉ makseevvanton@mail.ru**Аннотация**

Представлены математическая модель и алгоритм анализа напряженно-деформированного состояния (НДС) упругопластических пластин с центральным круглым отверстием в трехмерной постановке. Разработанный алгоритм позволяет рассматривать любые краевые условия, зависимости и материалы, для которых существуют экспериментальные зависимости диаграмм деформирования. Модель основана на деформационной теории пластичности и реализована с помощью комбинации метода конечных элементов (МКЭ) и метода переменных параметров упругости И.А. Биргера. Для получения достоверных результатов исследованы тип конечных элементов (КЭ) и их количество в 3D-постановке, а также сходимость решений на сетке из тетраэдральных и гексаэдральных конечных элементов для пластиноок с отверстием в центре и без отверстия. Выявлено, что оптимальным является конечный элемент в форме гексаэдра. Приведены примеры расчета прямоугольной в плане пластиноок, защемленной по контуру, при действии постоянной нагрузки. Материал пластиноок – чистый алюминий, описываемый известной диаграммой деформирования Ю. Охаси и С. Мураками.

Ключевые слова: деформационная теория пластичности, метод переменных параметров упругости, метод конечных элементов, трехмерная постановка задачи

Благодарности. Работа выполнена при поддержке гранта РНФ 22-11-00160-П.

Для цитирования: Максеев А.Е., Бодягина К.С., Жигалов М.В., Крысько В.А. Упругопластический изгиб пластиноок с центральным отверстием в трехмерной постановке // Учен. зап. Казан. ун-та. Сер. Физ.-матем. науки. 2025. Т. 167, кн. 4. С. 744–758.

<https://doi.org/10.26907/2541-7746.2025.4.744-758>.

ORIGINAL ARTICLE

<https://doi.org/10.26907/2541-7746.2025.4.744-758>

Elastic-plastic bending of plates with a central hole in a three-dimensional setting

A.E. Makseev¹✉, K.S. Bodyagina¹, M.V. Zhigalov², V.A. Krysko²

¹*Yuri Gagarin State Technical University of Saratov, Saratov, Russia*

²*Lavrentyev Institute of Hydrodynamics, Siberian Branch, Russian Academy of Sciences,
Novosibirsk, Russia*

✉ makseevvanton@mail.ru

Abstract

This article presents a mathematical model and algorithm for analyzing the stress-strain state (SSS) of elastic-plastic plates with a central circular hole in a three-dimensional setting. The developed algorithm can be applied to any boundary conditions, dependencies, and materials for which experimental stress-strain diagrams are available. The model is based on the deformation theory of plasticity and was implemented using a combination of the finite element method (FEM) and the method of I.A. Birger's variable elasticity parameters. To obtain reliable results, the type finite elements (FE) and their number in a three-dimensional setting were investigated, along with the convergence of the solutions on a mesh of tetrahedral and hexahedral FE for a plate with and without a hole in the center. The hexahedral FE was found to be the most optimal. Computational examples for a rectangular plate clamped along the contour and subjected to a constant load were provided. The plate material considered is pure aluminum described by the stress-strain diagram developed by Y. Ohashi and S. Murakami.

Keywords: deformation theory of plasticity, method of variable elasticity parameters, finite element method, three-dimensional problem setting

Acknowledgments. This study was supported by the Russian Science Foundation (project no. 22-11-00160-P).

For citation: Makseev A.E., Bodyagina K.S., Zhigalov M.V., Krysko V.A. Elastic-plastic bending of plates with a central hole in a three-dimensional setting. *Uchenye Zapiski Kazanskogo Universiteta. Seriya Fiziko-Matematicheskie Nauki*, 2025, vol. 167, no. 4, pp. 744–758.

<https://doi.org/10.26907/2541-7746.2025.4.744-758>. (In Russian)

Введение

Круговое отверстие является типовым концентратором напряжений, часто встречающимся в роторных дисках паровых турбин, лонжеронах клепаных рам грузовых автомобилей, звукоглощающих конструкциях авиационных двигателей, шпангоутах и др. В процессе эксплуатации эти элементы подвержены нагружению, которое может приводить к деформациям пластичности и разгрузке. Остаточные напряжения [1, 2], возникающие при разгрузке, являются одной из основных причин формирования дефектов в материалах при снятии нагрузки. Анализу явления остаточных напряжений и его последствиям посвящен целый ряд исследований, некоторые из которых упомянуты ниже.

Очень важным является сопоставление результатов, полученных экспериментально и численными методами. Так, в работе [3] численные результаты, полученные методом конечных элементов (МКЭ) для пластинон Кирхгофа, были сравнены с экспериментальными данными для трех видов материала – низкоуглеродистой стали, алюминиевого и магниевого сплавов. Исследован вопрос влияния разгрузки при циклическом нагружении для трех указанных выше материалов [4,5]. Использована модель нелинейного кинематического упрочнения Chaboche для моделирования эффекта Баушингера, что позволило воссоздать последовательность упругопластических нагружений и разгрузок с использованием метода конечных элементов.

В работе [6] по модели Кирхгофа был проведен эксперимент для некоторых типов геометрии центрального отверстия в пластиинке при одноосном растяжении, что позволило этим же авторам в [7] экспериментально для пластинон из никеля обнаружить эффект Портевена – Ле Шателье (ПЛШ) – пространственно-временной нестабильности пластического течения. В названных экспериментальных работах отсутствует сравнительный анализ влияния диаметра отверстия на пластические деформации при нагрузке – разгрузке. Также для пластинон Кирхгофа результаты численных исследований концентрации напряжений вокруг отверстий, полученные с помощью МКЭ, аналитических подходов на основе асимптотических разложений и метода наименьших квадратов (МНК), представлены в работах [8–10].

В [11] построена математическая модель контактного взаимодействия двух пластиин (кинематическая модель Кирхгофа) с учетом разномодульности материалов, физической и конструктивной нелинейностей. Для исследования напряженно-деформированного состояния применен метод вариационных итераций, позволяющий свести уравнения в частных производных к обычновенным дифференциальным уравнениям (ОДУ). Использован метод переменных параметров упругости Биргера [12].

Работа [13] посвящена построению и исследованию математических моделей физически нелинейных пластиин и балок из бимодульных материалов. Для численного исследования использованы критерий пластичности Мизеса и метод переменных параметров теории упругости Биргера [12], МКЭ, для которого проанализирована его сходимость и достоверность результатов. Задача с разгрузкой была исследована в работе [14]. В [15] разработана математическая модель гибких (по теориям фон Кармана и Грина – Лагранжа) физически нелинейных пористых размерно-зависимых балок Эйлера – Бернулли под действием поперечной знакопеременной нагрузки. Использованы итерационные алгоритмы (конечно-разностный метод в сочетании с методом переменных параметров упругости при учете физической нелинейности) расчета хаотических и гиперхаотических колебаний как механической системы с «почти» бесконечным числом степеней свободы.

В работе [16] предложен подход неразрушающего контроля механических конструкций, состоящий из двух этапов. На первом этапе проводилась идентификация полостей/включений с разными физическими свойствами и произвольной геометрией в 3D-конструкциях на основе температурного поля, методов скользящих асимптот и конечных элементов. Приведены результаты, демонстрирующие обнаружение включений различной геометрической формы (куб, сфера, эллипсоид, тор и включения сложной формы) из стали, меди и алюминия.

В исследовании [17] показана принципиальная важность использования трехмерных моделей для анализа перфорированных конструкций. Авторы установили, что применение объемных конечных элементов позволяет выявить концентрации напряжений на внутренней поверхности оболочки, которые не учитываются в двумерных оболочечных моделях. Полученный коэффициент концентрации напряжений достигает значения 2, что подтверждает необходимость трехмерного анализа.

Важный аспект исследования нагрузки – разгрузки рассмотрен в работе [18]. Авторы используют модифицированную модель Леонова – Панасюка – Дугдейла с учетом зоны пластичности, что позволяет анализировать процессы деформирования при циклическом нагружении. Численное моделирование МКЭ подтверждает адекватность этих аналитических решений.

Особого внимания заслуживает исследование [19], где проанализировано влияние зазоров между болтом и отверстием на коэффициент концентрации напряжений (ККН). Показано, что изменение зазора в диапазоне 0–1 % диаметра приводит к изменению ККН до 10 %, что необходимо учитывать при расчетах нагружения – разгрузки.

В работе [20] экспериментально исследовано влияние на прочностные характеристики соотношения ширины образца к диаметру отверстия. Полученные данные имеют важное значение для прогнозирования поведения пластин при циклическом нагружении.

Исследование [21], основанное на методе интегральных уравнений, показало, что характер распределения напряжений (сжатие или растяжение) на границе отверстия существенно зависит от соотношения его радиуса и зоны пластичности. В частности, для отверстий малого радиуса возникают высокие растягивающие напряжения, которые снижаются с увеличением размера отверстия. Этот вывод коррелирует с результатами решения упругопластической задачи для стрингерной пластины с круглым отверстием [9], где использованы условие пластичности Треска – Сен-Венана и комбинированный метод (теория возмущений, аналитические функции и МНК). Этот подход позволяет определить границу раздела упругой и пластической зон и исследовать НДС конструкции.

Исследование концентрации напряжений в псевдоупругих пластинах из сплавов с памятью формы (SMA) [22] подчеркивает важность учета фазовых превращений и пластичности. Использование метода цифровой корреляции изображений (DIC) для калибровки конечно-элементной модели позволило авторам продемонстрировать, что ККН не является постоянным и изменяется в зависимости от стадии фазового превращения и развития пластических деформаций. Это указывает на необходимость нелинейного анализа для современных материалов.

Ряд работ посвящен управлению пластическими деформациями в строительных конструкциях с целью повышения их сейсмической стойкости. Так, метод ослабления плит в приграничных зонах путем сверления отверстий [23] доказал свою эффективность для направления пластических шарниров в желаемые зоны (балки). Аналогично в стальных конструкциях [24] рассеивание энергии достигается за счет проектирования соединений,

где пластические деформации концентрируются в опорных пластинах с отверстиями, обеспечивая предсказуемое пластическое поведение. Эти исследования показали, что отверстия являются не просто ослаблением, а инструментом для управления пластичностью всей конструкции.

Исследование усталостной прочности стопорных пластин [25] продемонстрировало, что наличие винтовых заглушек, создающих локальные пластические деформации в отверстиях, может значительно повысить усталостную прочность пластин из нержавеющей стали. Однако для титановых сплавов этот эффект не наблюдается, что подчеркивает зависимость упруго-пластического отклика от материала.

Следует отметить, что основные исследования по анализу НДС пластин проводились для кинематических моделей Кирхгофа, причем в трехмерной постановке при действии поперечной равномерно-распределенной нагрузки по деформационной теории пластичности такие исследования отсутствуют.

В настоящей работе построены математическая модель и алгоритм расчета НДС прямоугольных пластин с центральным круглым отверстием, с учетом разгрузки, в трехмерной постановке. Методом конечных элементов (тип конечного элемента, его сходимость) с помощью метода переменных параметров Биргера [12] для чистого алюминия исследован НДС пластин в зависимости от диаметра центрального круглого отверстия.

1. Постановка задачи

Рассмотрим сплошное твердое тело в форме прямоугольной пластины, занимающей в декартовой системе координат трехмерную область (рис. 1). В этой системе координат пластиинка, как трехмерная область Ω , определена следующим образом:

$$\Omega = \{(x, y, z) \in \mathbb{R}^3 \mid x \in [0, a], y \in [0, b], z \in [0, h]\}.$$

В центральной области пластины расположено сквозное цилиндрическое отверстие диаметром d . Границные поверхности

$$\begin{aligned} S_1 &= \{x = a, y \in [0, b], z \in [0, h]\}, \\ S_2 &= \left\{x \in \left[0, \frac{a-d}{2}\right] \cup \left[\frac{a+d}{2}, a\right], y \in \left[0, \frac{b-d}{2}\right] \cup \left[\frac{b+d}{2}, b\right], z = h\right\}, \\ S_3 &= \{x = 0, y \in [0, b], z \in [0, h]\}, \\ S_4 &= \{x \in [0, a], y = 0, z \in [0, h]\}, \\ S_5 &= \left\{x \in \left[0, \frac{a-d}{2}\right] \cup \left[\frac{a+d}{2}, a\right], y \in \left[0, \frac{b-d}{2}\right] \cup \left[\frac{b+d}{2}, b\right], z = 0\right\}, \\ S_6 &= \{x \in [0, a], y = b, z \in [0, h]\}, \\ S_7 &= \left\{x \in \left[\frac{a-d}{2}, \frac{a+d}{2}\right], y \in \left[\frac{b-d}{2}, \frac{b+d}{2}\right], z \in [0, h]\right\}. \end{aligned} \tag{1}$$

На поверхность S_2 действует поперечная нагрузка интенсивности q . Поверхности S_5 и S_7 свободны от нагрузок. На поверхностях S_1 , S_3 , S_4 и S_6 заданы следующие граничные условия:

$$u = 0, \quad v = 0, \quad w = 0.$$

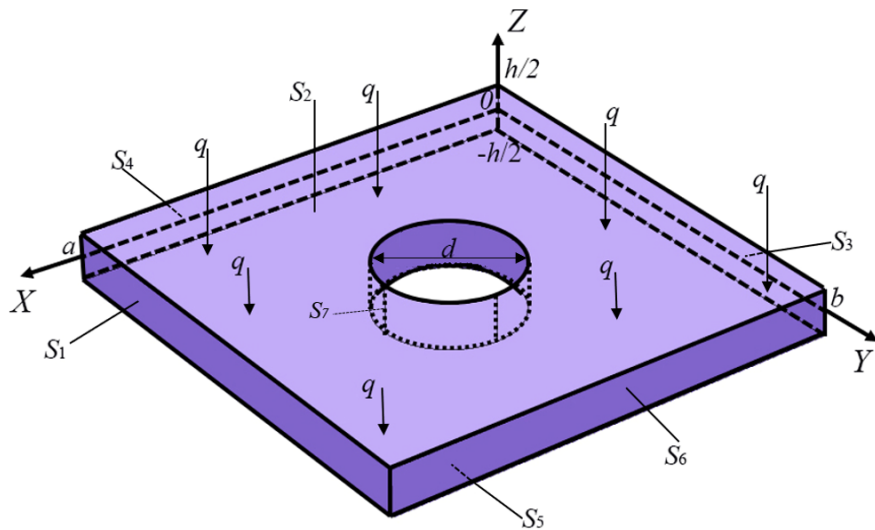


Рис. 1. Расчетная схема трехмерной пластины с центральным отверстием
Fig. 1. Schematic diagram of a three-dimensional plate with a central hole

Материал пластины упругий, пространственно неоднородный и физически нелинейный. Упругопластический отклик моделируем в рамках деформационной теории пластичности. Уравнения равновесия Коши в перемещениях имеют вид

$$(\lambda + \mu) \theta_x + \mu \Delta u + F = 0, \quad (\overrightarrow{\theta_x}, \overrightarrow{\theta_y}, \overrightarrow{\theta_z}), \quad (\overrightarrow{u}, \overrightarrow{v}, \overrightarrow{w}), \quad (\overrightarrow{F}, \overrightarrow{G}, \overrightarrow{H}), \quad (2)$$

где $\theta_x, \theta_y, \theta_z$ – частные производные θ по координатам x, y, z соответственно,

$$\theta = \frac{\partial u}{\partial x} + \frac{\partial v}{\partial y} + \frac{\partial w}{\partial z}, \quad \lambda = \frac{E(x, y, z, \varepsilon_i, \varepsilon_0) \nu(x, y, z, \varepsilon_i, \varepsilon_0)}{(1 + \nu(x, y, z, \varepsilon_i, \varepsilon_0))(1 - 2\nu(x, y, z, \varepsilon_i, \varepsilon_0))}, \quad \mu = \frac{E(x, y, z, \varepsilon_i, \varepsilon_0)}{2(1 + \nu(x, y, z, \varepsilon_i, \varepsilon_0))},$$

E и ν – модуль упругости и коэффициент Пуассона, соответственно, зависящие от координат и напряженно-деформированного состояния в пластинке.

Уравнения (2) приведем к безразмерному виду с помощью выражений

$$\tilde{x} = \frac{x}{a}, \quad \tilde{y} = \frac{y}{b}, \quad \tilde{z} = \frac{z}{h}, \quad \tilde{u} = \frac{u}{u_c}, \quad \tilde{v} = \frac{v}{v_c}, \quad \tilde{w} = \frac{w}{w_c}.$$

Интенсивность деформаций примет вид

$$\varepsilon_i = \frac{\sqrt{2}}{3} \sqrt{(\varepsilon_{xx} - \varepsilon_{yy})^2 + (\varepsilon_{yy} - \varepsilon_{zz})^2 + (\varepsilon_{zz} - \varepsilon_{xx})^2 + \frac{3}{2}(\varepsilon_{xy}^2 + \varepsilon_{xz}^2 + \varepsilon_{yz}^2)}.$$

При определении появления пластических деформаций используем критерий пластичности Мизеса. Для моделирования упругопластического изгиба трехмерной пластиинки рассмотрим диаграмму для чистого алюминия [26]:

$$\begin{aligned} \sigma_i &= \sigma_s [1 - e^{-\varepsilon_i/\varepsilon_s}] && \text{при } d\varepsilon_i > 0, \\ \sigma_i &= 3G_0 (\varepsilon_i - \varepsilon_p^1) && \text{при } d\varepsilon_i < 0. \end{aligned}$$

где ε_s – предел текучести материала, ε_p^1 – остаточные пластические деформации.

2. Вычисленный эксперимент

Численное исследование уравнения (2) с краевыми условиями (1) было проведено с помощью комбинации МКЭ и метода переменных параметров упругости Биргера [12]. Результаты получены с помощью программного пакета COMSOL Multiphysics. Использована пластина из чистого алюминия со следующими характеристиками: $a = 1 \text{ м}$, $b = 1 \text{ м}$, $h = 0.05 \text{ м}$, модуль сдвига $G_0 = 25 \cdot 10^9 \text{ Па}$ и модуль Юнга $E_0 = 66.6 \cdot 10^9 \text{ Па}$, объемный модуль $K = 1.94G_0$. Коэффициент Пуассона $\nu = 0.35$. Исследована сходимость МКЭ для пластины с центральным отверстием при варьировании параметров сетки. Результаты получены для двух типов конечных элементов: гексаэдры и тетраэдры. Рассмотрены два случая: пластина с отверстием $d = 0.3$ и сплошная пластина без отверстия $d = 0$. В табл. 1 представлены максимальные перемещения W_1 и W_2 пластины с отверстием, дискретизированной гексаэдральными (W_1) и тетраэдральными (W_2) элементами; W_3 и W_4 – максимальные перемещения сплошной пластины (без отверстия), дискретизированной гексаэдральными (W_3) и тетраэдральными (W_4) элементами; N_1 – количество конечных элементов в форме гексаэдра, N_2 – количество элементов в форме тетраэдра.

Табл. 1. Зависимость максимальных перемещений пластины от геометрических параметров ($a/h, d$) и плотности сетки тетраэдальных N_2 и гексаэдальных N_1 КЭ

Table 1. Dependency of the maximum plate displacements on the geometric parameters ($a/h, d$) and the density of the tetrahedral N_2 and hexahedral N_1 FE mesh

$d = 0.3, q = 40$				$d = 0, q = 40$			
N_1	W_1	N_2	W_2	N_1	W_3	N_2	W_4
109	$7.3486 \cdot 10^{-5}$	939	$7.3486 \cdot 10^{-5}$	100	$9.7769 \cdot 10^{-5}$	774	$9.9286 \cdot 10^{-5}$
156	$7.4814 \cdot 10^{-5}$	1316	$7.5492 \cdot 10^{-5}$	169	$9.9459 \cdot 10^{-5}$	1236	$1.0114 \cdot 10^{-4}$
341	$7.5939 \cdot 10^{-5}$	3895	$7.6712 \cdot 10^{-5}$	342	$1.008 \cdot 10^{-4}$	3281	$1.0293 \cdot 10^{-4}$
1442	$7.9228 \cdot 10^{-5}$	13769	$7.9454 \cdot 10^{-5}$	1682	$1.059 \cdot 10^{-4}$	13654	$1.0654 \cdot 10^{-4}$
6810	$8.05 \cdot 10^{-5}$	90168	$8.1031 \cdot 10^{-5}$	7500	$1.0842 \cdot 10^{-4}$	96163	$1.0936 \cdot 10^{-4}$
$\delta = 1.58$		$\delta = 1.94$		$\delta = 2.27$		$\delta = 2.57$	

Максимальное значение перемещения W по объему пластины V определено по формуле

$$W = \int_V w \, dV,$$

а относительная погрешность решения вычислена следующим образом:

$$\delta = \frac{|w_{n-1} - w_n|}{|w_{n-1}|} \cdot 100 \, \%.$$

В обоих случаях монотонная сходимость наблюдается для гексаэдральных элементов при увеличении N_1 . Наличие отверстия снижает W на 20–25 % из-за перераспределения напряжений. Гексаэдры демонстрируют более быструю сходимость, например, при $N_1 \approx 150$ решение сходится к результатам для $N_2 \approx 1300$ при $d = 0.3$. Погрешность для грубых сеток N_1 достигает 8–10 %. При $N_1 > 3000$ погрешность не превышает 2.5 %.

Выводы: для моделирования перфорированных пластин рекомендованы гексаэдральные сетки с $N_1 > 3000$ ($\delta < 2.5\%$). Тетраэдральные КЭ сетки требуют на порядок больше элементов для достижения сопоставимой точности. Наибольшая погрешность (до 10 %) характерна для зон концентрации напряжений у контура отверстия. Здесь и в дальнейшем цветовая шкала от синего до красного означает, что материал в данной области находится в упругом состоянии, т. е. $\varepsilon_i < \varepsilon_s$. Красным обозначены области пластических деформаций, где $\varepsilon_i \geq \varepsilon_s$.

2.1. Пластина без отверстия. Исследуем задачу упругопластического изгиба пластины без отверстия $d = 0$ с геометрическими параметрами $a = 1$, $b = 1$, $h = 0.05$ в процессе циклического нагружения и последующей разгрузки (рис. 2). Цветовая шкала отношения $\varepsilon_i/\varepsilon_s$, которая показывает зоны пластических деформаций, где $\varepsilon_i \geq \varepsilon_s$ – упругопластическая зона, $\varepsilon_i < \varepsilon_s$ – упругая зона.

В процессе нагружения при малой нагрузке $q = 5$ (рис. 2, точка А) зоны пластических деформаций первоначально возникают в центре длинных сторон пластины. С увеличением нагрузки $q = 20$ (рис. 2, точка В) пластические зоны расширяются, и появляется новая пластичная область в центре пластины. При максимальной нагрузке $q = 30$ (рис. 2, точка С) зоны пластичности формируют четкий контур по периметру пластины (исключая углы) в центре и по диагоналям, соединяющим центр с углами. В процессе разгрузки поведение материала является упругим, что проявляется в гистерезисе на графике рис. 2. После полной разгрузки $q = 0$ (рис. 2, точка Г) в пластине сохраняются остаточные пластические деформации $\varepsilon_{опл}$, локализованные преимущественно вдоль сторон пластины. Угловые области остаются упругими. Поведение сплошной пластины характеризуется последовательным развитием пластичности от краев к центру. После снятия нагрузки пластина не возвращается в исходное состояние, что свидетельствует о необратимом характере деформирования.

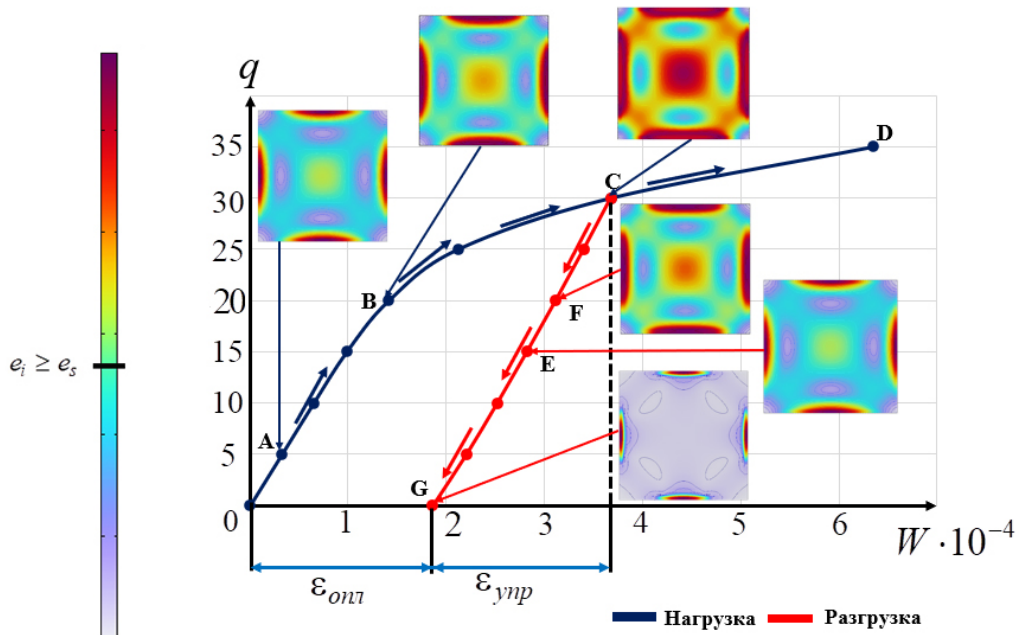


Рис. 2. Нагрузка и разгрузка пластины без отверстия

Fig. 2. Loading and unloading of the plate without a hole

2.2. Пластина с отверстием. Была решена задача упругопластического деформирования пластины с центральным круглым отверстием диаметра $d = 0.3$. Пластина имела следующие геометрические параметры: $a = 1$, $b = 1$ и толщину $h = 0.05$. Исследование включало в себя анализ поведения пластины как в процессе нагружения, так и в процессе последующей разгрузки (рис. 3). Цветовая шкала отношения $\varepsilon_i/\varepsilon_s$ показывает зоны пластических деформаций, где $\varepsilon_i \geq \varepsilon_s$ – упругопластическая зона, $\varepsilon_i < \varepsilon_s$ – упругая зона.

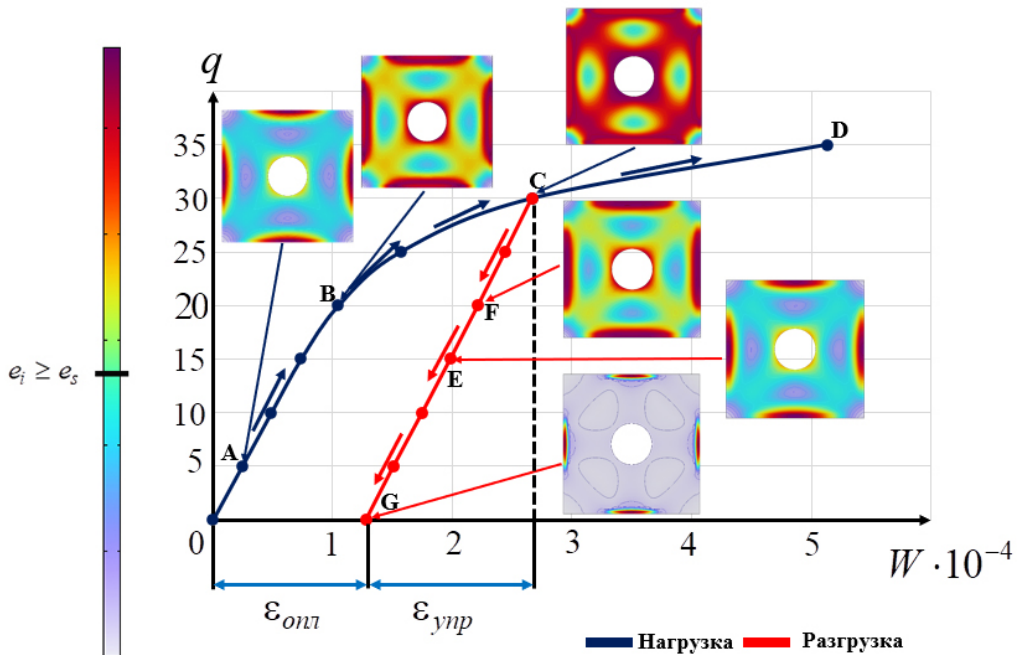


Рис. 3. Нагрузка и разгрузка пластины с отверстиями

Fig. 3. Loading and unloading of the plate with a hole

На рис. 3 представлена зависимость в процессе нагружения пластины, иллюстрирующая ее реакцию на приложенную нагрузку q . При относительно низкой нагрузке $q = 10$ (рис. 3, точка А) зоны пластических деформаций в этот момент только начинают формироваться. Их возникновение наблюдается в областях с максимальной концентрацией напряжений, прежде всего по контуру отверстия (где геометрия приводит к концентрации напряжений) и в центре длинных сторон пластины или на защемленных краях. С увеличением нагрузки $q = 20$ (рис. 3, точка В) наблюдается значительное развитие пластических деформаций. Пластические зоны расширяются от контура отверстия и краев пластины, начинают сливаться, охватывая значительную часть объема материала. Интенсивность пластических деформаций возрастает. При максимальной исследуемой нагрузке $q = 30$ (рис. 3, точка С) пластические деформации носят масштабный характер. Значительная часть пластины, за исключением, возможно, некоторых угловых зон с низким уровнем напряжений, переходит в пластическое состояние. Материал подвергается интенсивной пластической деформации.

На графике рис. 3 разгрузка представляет собой нисходящую ветвь кривой. В процессе снижения нагрузки с максимального значения (рис. 3, точка F) поведение материала является упругим. Однако из-за накопленных пластических деформаций состояние пластины

не возвращается в исходную точку В. Различие в перемещении при одной и той же нагрузке $q = 20$ на пути нагружения и разгрузки демонстрирует наличие остаточных деформаций $\varepsilon_{\text{опл}}$. При продолжении разгрузки $q = 15$ (рис. 3, точка Е) остаточные деформации и смещенные пластические зоны сохраняются, хотя их интенсивность может несколько снижаться из-за упругого восстановления. После полной разгрузки $q = 0$ (рис. 3, точка G) пластина не возвращается в исходное нулевое состояние. Наблюдается значительное остаточное перемещение, и в материале фиксируются остаточные пластические деформации. Их распределение для точки G представляет собой состояние конструкции после снятия нагрузки.

Проведенное исследование наглядно демонстрирует, что наличие отверстия является мощным концентратором напряжений, что изменяет поведение пластины по сравнению со сплошной пластиной (без отверстия, $d = 0$). При одних и тех же уровнях внешней нагрузки q размеры зон пластических деформаций в пластине с отверстием больше. Критические нагрузки, при которых начинается интенсивное пластическое деформирование, для пластины с отверстием ниже, чем для сплошной пластины. Процесс разгрузки приводит к формированию остаточных напряжений и деформаций, карта распределения которых напрямую связана с историей нагружения и геометрией отверстия. Таким образом, полученные результаты подчеркивают критическую важность учета концентраторов напряжений, таких как отверстия, при проектировании и оценке прочности конструкций, работающих в упругопластической области, так как их наличие значительно снижает ресурс и несущую способность элемента.

Заключение

- Построена математическая модель нагрузки – разгрузки пластинки в трехмерной постановке с учетом упругопластических деформаций по деформационной теории пластичности. В качестве метода решения использованы метод конечных элементов (в пакете Comsol Multiphysics) и итерационная процедура метода переменных параметров упругости Биргера. В качестве критерия пластичности принят критерий Мизеса.

- Создан авторский алгоритм метода переменных параметров упругости Биргера, который запрограммирован и внедрен в программный пакет Comsol Multiphysics. Достоверность полученных результатов обеспечена исследованием сходимости МКЭ для тетраэдralных и гексаэдralных элементов.

- Исследованы зоны пластической деформации при равномерно-распределенной нагрузке и граничных условиях типа защемления по всем сторонам в трехмерной пластинке без отверстия и с отверстием. Рассмотрены задачи с разгрузкой.

Конфликт интересов. Авторы заявляют об отсутствии конфликта интересов.

Conflicts of Interest. The authors declare no conflicts of interest.

Литература

- Wagoner R.H., Lim H., Lee M.-G. Advanced issues in springback // Int. J. Plast. 2013. V. 45. P. 3–20. <https://doi.org/10.1016/j.ijplas.2012.08.006>.
- Geka T., Asakura M., Kiso T., Sugiyama T., Takamura M., Asakawa M. Reduction of springback in hat channel with high-strength steel sheet by stroke returning deep drawing // Key Eng. Mater. 2013. Nos 554–557. P. 1320–1330. <https://doi.org/10.4028/www.scientific.net/KEM.554-557.1320>.

3. *Hama T., Matsudai R., Kuchinomachi Y., Fujimoto H., Takuda H.* Nonlinear deformation behavior during unloading of various metal sheets // *ISIJ Int.* 2015. V. 55, No 5. P. 1067–1075. <https://doi.org/10.2355/isijinternational.55.1067>.
4. *Федотова Д.В., Хамидуллин Р.М.* Анализ развития трещин смешанных форм разрушения по моделям циклической пластичности // XIII Всероссийск. съезд по теор. и прикл. механ.: сб. тез. докл. в 4 т. Санкт-Петербург, 21–25 авг. 2023 г. Т. 3. С. 724–726.
5. *Shlyannikov V., Fedotova D., Khamidullin R.* Mixed-mode crack growth analysis using a cyclic plasticity model // *Theor. Appl. Fract. Mech.* 2023. V. 128, Art. 104136. <https://doi.org/10.1016/j.tafmec.2023.104136>.
6. *Надежкин М.В., Баранникова С.А.* Локализация пластической деформации при растяжении полос с концентратором напряжений // Физическая мезомеханика. Материалы с многоуровневой иерархически организованной структурой и интеллектуальные производственные технологии: тез. докл. Международн. конф. Томск, 11–14 сент. 2023 г. С. 166.
7. *Barannikova S.A., Nadezhkin M.V.* Kinetics of localization of plastic deformation zones in polycrystalline nickel // *Metals.* 2021. V. 11, No 9. Art. 1440. <https://doi.org/10.3390/met11091440>.
8. *Шлянников В.Н., Ильченко Б.В., Бойченко Н.В., Тартыгашева А.М.* Пластина с отверстием в состоянии упругости, пластичности и ползучести // Изв. вузов. Пробл. энерг. 2004. № 1–2. С. 107–116.
9. *Mir-Salim-zade M. V.* Elastic-plastic problem for a stringer plate with a circular hole // *J. Mech. Eng.* 2021. V. 24, No 3. P. 61–69. <https://doi.org/10.15407/pmach2021.03.061>.
10. *Mamatova N.* Quasistatic elastic-plastic loading and unloading of rods with Coulomb dry friction // E3S Web Conf. 2021. V. 264. Art. 01040. <https://doi.org/10.1051/e3sconf/202126401040>.
11. *Awrejcewicz J., Krysko V.A., Zhigalov M.V., Krysko A.V.* Contact interaction of two rectangular plates made from different materials with an account of physical nonlinearity // *Nonlinear Dyn.* 2018. V. 91, No 2. P. 1191–1211. <https://doi.org/10.1007/s11071-017-3939-6>.
12. *Биргер И.А.* Некоторые общие методы решения задач теории пластичности // *ПММ.* 1951. Т. 15, вып. 6. С. 765–770.
13. *Krysko A.V., Awrejcewicz J., Bodyagina K.S., Zhigalov M.V., Krysko V.A.* Mathematical modeling of physically nonlinear 3D beams and plates made of multimodulus materials // *Acta Mech.* 2021. V. 232, No 9. P. 3441–3469. <https://doi.org/10.1007/s00707-021-03010-8>.
14. *Krysko V.A., Papkova I.V., Krysko A.V.* Nonlinear dynamics of contact interaction porous size-dependent Euler-Bernoulli beams resonators with clearance: Numerical analysis of the stability problem // *Commun. Nonlinear Sci. Numer. Model.* 2024. V. 135. Art. 108038. <https://doi.org/10.1016/j.cnsns.2024.108038>.
15. *Крысько В.А., Папкова И.В., Яковлева Т.В., Крысько А.В.* Хаотические, гиперхаотические колебания и устойчивость пористых балок Эйлера–Бернулли с учетом физической и геометрической нелинейностей // Докл. РАН. Физ., техн. науки. 2025. Т. 521, № 1. С. 50–58. <https://doi.org/10.31857/S2686740025020059>.
16. *Makseev A., Yakovleva T.V., Krysko A.V., Zhigalov M.V., Krysko V.A.* Identification of inclusions of arbitrary geometry with different physical properties of materials in 3D structures. // *Int. J. Mech. Mater. Des.* 2025. V. 21, No 1. P. 53–79. <https://doi.org/10.1007/s10999-024-09727-3>.

17. Петрик В., Трубачев С., Колодезиний В. Determination of stresses in a cylindrical shell taking into account holes // Молод. вчен. 2022. № 5 (105). С. 13–16.
<https://doi.org/10.32839/2304-5809/2022-5-105-3>.
18. Астапов Н.С., Кургузов В.Д. Моделирование упругопластического разрушения пластины с центральной трещиной // Вестн. ПНИПУ. Механ. 2023. № 1. С. 12–25.
<https://doi.org/10.15593/perm.mech/2023.1.02>.
19. Рудаков К.М., Дифучин Ю., Бахтоваршов Т. Концентрація напружень біля отвору, що контактує з жорстким циліндром, в композитній пластині, з урахуванням бічних зазорів // Mech. Adv. Technol. 2021. Т. 5, № 2. С. 183–192.
<https://doi.org/10.20535/2521-1943.2021.5.2.2243744>.
20. Khosravani M.R., Reinicke T. Mechanical strength of 3D-printed open hole polymer plates // Procedia Struct. Integr. 2022. V. 41. P. 664–669. <https://doi.org/10.1016/j.prostr.2022.05.075>.
21. Mirsalimov V.M. Elastoplastic tension problem for a plate with a circular hole with account for crack nucleation in an elastic deformation region // J. Appl. Mech. Tech. Phys. 2020. V. 61, No 4. P. 641–651. <https://doi.org/10.1134/S0021894420040185>.
22. Silva B.F., de Souza L.F.G., de Aguair R.A.A., Pacheco P.M.C.L. Analysis of stress concentration in pseudoelastic plates using digital image correlation (DIC) and finite element method // Lat. Am. J. Solids Struct. 2025. V. 22, No 10. Art. e870. <https://doi.org/10.1590/1679-7825/e8703>.
23. Sococol I., Mihai P., Petrescu T.-C., Nedeff F., Nedeff V., Agop M., Luca B.-I. Numerical study regarding the seismic response of a moment-resisting (MR) reinforced concrete (RC) frame structure with reduced cross-sections of the RC slabs // Buildings. 2022. V. 12, No 10. Art. 1525. <https://doi.org/10.3390/buildings12101525>.
24. Wang Ch., González Ureña A., Afifi M., Rudman A., Tremblay R., Rogers C.A. Conventional construction steel braces with bearing plate energy dissipation // Proc. 17th World Conf. on Earthquake Engineering (17WCEE). Sendai, 2020, art. 2i-0070.
25. Hung L.-W., Chao C.-K., Huang J.-R., Lin J. Screw head plugs increase the fatigue strength of stainless steel, but not of titanium, locking plates // Bone Jt. Res. 2019. V. 7, No 12. P. 629–635. <https://doi.org/10.1302/2046-3758.712.BJR-2018-0083.R1>.
26. Ohashi Y., Murakami S. The elasto-plastic bending of a clamped thin circular plate // Görtler H. (Ed.) Applied Mechanics. Berlin, Heidelberg: Springer, 1966. P. 212–223.
https://doi.org/10.1007/978-3-662-29364-5_25.

References

1. Wagoner R.H., Lim H., Lee M.-G. Advanced issues in springback. *Int. J. Plast.*, 2013, vol. 45. pp. 3–20. <https://doi.org/10.1016/j.ijplas.2012.08.006>.
2. Geka T., Asakura M., Kiso T., Sugiyama T., Takamura M., Asakawa M. Reduction of springback in hat channel with high-strength steel sheet by stroke returning deep drawing. *Key Eng. Mater.*, 2013, nos. 554–557, pp. 1320–1330.
<https://doi.org/10.4028/www.scientific.net/KEM.554-557.1320>.
3. Hama T., Matsudai R., Kuchinomachi Y., Fujimoto H., Takuda H. Non-linear deformation behavior during unloading of various metal sheets. *ISIJ Int.*, 2015, vol. 55, no. 5, pp. 1067–1075. <https://doi.org/10.2355/isijinternational.55.1067>.

4. Fedotova D.V., Khamidullin R.M. Mixed-mode crack growth analysis using models of cyclic plasticity. *XIII Vserossiisk. s"ezd po teor. i prikl. mekhan. Sankt-Peterburg, 21–25 avg. 2023 g.* [Proc. XIII All-Russian Congr. on Theoretical and Applied Mechanics. St. Petersburg, August 21–15, 2023]. Vol. 3. St. Petersburg, 2023, pp. 724–726. (In Russian)
5. Shlyannikov V., Fedotova D., Khamidullin R. Mixed-mode crack growth analysis using a cyclic plasticity model. *Theor. Appl. Fract. Mech.*, 2023, vol. 128, art. 104136. <https://doi.org/10.1016/j.tafmec.2023.104136>.
6. Nadezhkin M.V., Barannikova S.A. The localization of plastic deformation during stretching of strips by a stress concentrator. *Fizicheskaya mezomehanika. Materialy s mnogourovnevoi ierarkhicheski organizovannoj strukturoi i intellektual'nye proizvodstvennye tekhnologii: tez. dokl. Mezhdunarodn. konf., Tomsk, 11–14 sent. 2023 g.* [Physical Mesomechanics. Materials with a Multilevel Hierarchical Structures and Intelligent Manufacturing Technologies: Proc. Int. Conf., Tomsk, September 11–14, 2023]. Tomsk, 2023. p. 166. (In Russian)
7. Barannikova S.A., Nadezhkin M.V. Kinetics of localization of plastic deformation zones in polycrystalline nickel. *Metals*, 2021, vol. 11, no. 9, art. 1440. <https://doi.org/10.3390/met11091440>
8. Shlyannikov V.N., Il'chenko B.V., Boichenko N.V., Tartygasheva A.M. The plate with a hole in a state of elasticity, plasticity, and creep. *Izv. Vuzov. Probl. Energ.*, 2004, nos. 1–2, pp. 107–116. (In Russian)
9. Mir-Salim-zade M.V. Elastic-plastic problem for a stringer plate with a circular hole. *J. Mech. Eng.*, 2021, vol. 24, no. 3, pp. 61–69. <https://doi.org/10.15407/pmach2021.03.061>.
10. Mamatova N. Quasistatic elastic-plastic loading and unloading of rods with Coulomb dry friction. *E3S Web Conf.*, 2021, vol. 264, art. 01040. <https://doi.org/10.1051/e3sconf/202126401040>.
11. Awrejcewicz J., Krysko V.A., Zhigalov M.V., Krysko A.V. Contact interaction of two rectangular plates made from different materials with an account of physical nonlinearity. *Nonlinear Dyn.*, 2018, vol. 91, no. 2, pp. 1191–1211. <https://doi.org/10.1007/s11071-017-3939-6>.
12. Birger I.A. Some general methods for solving problems in the theory of plasticity. *Prikl. Mat. Mekh.*, 1951, vol. 15, no. 6, pp. 765–770. (In Russian)
13. Krysko A.V., Awrejcewicz J., Bodyagina K.S., Zhigalov M.V., Krysko V.A. Mathematical modeling of physically nonlinear 3D beams and plates made of multimodulus materials. *Acta Mech.*, 2021, vol. 232, no. 9, pp. 3441–3469. <https://doi.org/10.1007/s00707-021-03010-8>.
14. Krysko V.A., Papkova I.V., Krysko A.V. Nonlinear dynamics of contact interaction porous size-dependent Euler-Bernoulli beams resonators with clearance: Numerical analysis of the stability problem. *Commun. Nonlinear Sci. Numer. Model.*, 2024, vol. 135, art. 108038. <https://doi.org/10.1016/j.cnsns.2024.108038>.
15. Krysko V.A., Papkova I.V., Yakovleva T.V., Krysko A.V. Chaotic, hyperchaotic vibrations and stability of porous Euler–Bernoulli beams considering physical and geometrical nonlinearities. *Dokl. Ross. Akad. Nauk. Fiz., Tekh. Nauki.*, 2025, vol. 521, no. 1, pp. 50–58. <https://doi.org/10.31857/S2686740025020059>. (In Russian)
16. Makseev A., Yakovleva T.V., Krysko A.V., Zhigalov M.V., Krysko V.A. Identification of inclusions of arbitrary geometry with different physical properties of materials in 3D structures. *Int. J. Mech. Mater. Des.*, 2025, vol. 21, no. 1, pp. 53–79. <https://doi.org/10.1007/s10999-024-09727-3>.

17. Petryk V., Trubachev S., Kolodezhnyi V. Determination of stresses in a cylindrical shell taking into account holes. *Young Sci.*, 2022, no. 5 (105), pp. 13–16.
<https://doi.org/10.32839/2304-5809/2022-5-105-3>.
18. Astapov N.S., Kurguzov V.D. Simulation of elastoplastic fracture of a center cracked plate. *PNRPU Mech. Bull.*, 2023, no. 1, pp. 12–25.
<https://doi.org/10.15593/perm.mech/2023.1.02>. (In Russian)
19. Rudakov K., Dyfuchyn Y., Bakhtovarshoiev T. Concentration of stresses near the hole in contact with rigid cylinder in composite plate, taking into account lateral clearances. *Mech. Adv. Technol.*, 2021, vol. 5, no. 2, pp. 183–192.
<https://doi.org/10.20535/2521-1943.2021.5.2.2243744>. (In Ukrainian)
20. Khosravani M.R., Reinicke T. Mechanical strength of 3D-printed open hole polymer plates. *Procedia Struct. Integr.*, 2022, vol. 41, pp. 664–669. <https://doi.org/10.1016/j.prostr.2022.05.075>.
21. Mirsalimov V.M. Elastoplastic tension problem for a plate with a circular hole with account for crack nucleation in an elastic deformation region. *J. Appl. Mech. Tech. Phys.*, 2020, vol. 61, no. 4, pp. 641–651. <https://doi.org/10.1134/S0021894420040185>.
22. Silva B.F., de Souza L.F.G., de Aguair R.A.A., Pacheco P.M.C.L. Analysis of stress concentration in pseudoelastic plates using digital image correlation (DIC) and finite element method. *Lat. Am. J. Solids Struct.*, 2025, vol. 22, no. 10, art. e870. <https://doi.org/10.1590/1679-7825/e8703>.
23. Sococol I., Mihai P., Petrescu T.-C., Nedeff F., Nedeff V., Agop M., Luca B.-I. Numerical study regarding the seismic response of a moment-resisting (MR) reinforced concrete (RC) frame structure with reduced cross-sections of the RC slabs. *Buildings*, 2022, vol. 12, no. 10, art. 1525.
<https://doi.org/10.3390/buildings12101525>.
24. Wang Ch., González Ureña A., Afifi M., Rudman A., Tremblay R., Rogers C.A. Conventional construction steel braces with bearing plate energy dissipation. *Proc. 17th World Conf. on Earthquake Engineering (17WCEE)*. Sendai, 2020, art. 2i-0070.
25. Hung L.-W., Chao C.-K., Huang J.-R., Lin J. Screw head plugs increase the fatigue strength of stainless steel, but not of titanium, locking plates. *Bone Jt. Res.*, 2019, vol. 7, no. 12, pp. 629–635.
<https://doi.org/10.1302/2046-3758.712.BJR-2018-0083.R1>.
26. Ohashi Y., Murakami S. The elasto-plastic bending of a clamped thin circular plate. In: Görtler H. (Ed.) *Applied Mechanics*. Berlin, Heidelberg, Springer. 1966. pp. 212–223.
https://doi.org/10.1007/978-3-662-29364-5_25.

Информация об авторах

Антон Евгеньевич Максеев, аспирант, Саратовский государственный технический университет имени Гагарина Ю.А.

E-mail: makseevvanton@mail.ru

ORCID: <https://orcid.org/0000-0003-0181-3460>

Ксения Сергеевна Бодягина, кандидат физико-математических наук, старший преподаватель, Саратовский государственный технический университет имени Гагарина Ю.А.

E-mail: bodksen@mail.ru

ORCID: <https://orcid.org/0000-0002-8822-410X>

Максим Викторович Жигалов, доктор физико-математических наук, профессор, Институт гидродинамики им. М.А. Лаврентьева Сибирского отделения Российской академии наук

E-mail: zhigalovm@yandex.ru

ORCID: <https://orcid.org/0000-0002-0642-7211>

Вадим Анатольевич Крысько, доктор технических наук, профессор, Институт гидродинамики им. М.А. Лаврентьева Сибирского отделения Российской академии наук

E-mail: tak@san.ru

ORCID: <https://orcid.org/0000-0002-4914-764X>

Author Information

Anton E. Makseev, Postgraduate Student, Yuri Gagarin State Technical University of Saratov

E-mail: makseevvanton@mail.ru

ORCID: <https://orcid.org/0000-0003-0181-3460>

Kseniya S. Bodyagina, Cand. Sci. (Physics and Mathematics), Senior Lecturer, Yuri Gagarin State Technical University of Saratov

E-mail: bodksen@mail.ru

ORCID: <https://orcid.org/0000-0002-8822-410X>

Maksim V. Zhigalov, Dr. Sci. (Physics and Mathematics), Professor, Lavrentyev Institute of Hydrodynamics, Siberian Branch, Russian Academy of Sciences

E-mail: zhigalovm@yandex.ru

ORCID: <https://orcid.org/0000-0002-0642-7211>

Vadim A. Krysko, Dr. Sci. (Engineering), Full Professor, Lavrentyev Institute of Hydrodynamics, Siberian Branch, Russian Academy of Sciences

E-mail: tak@san.ru

ORCID: <https://orcid.org/0000-0002-4914-764X>

Поступила в редакцию 27.08.2025

Принята к публикации 3.10.2025

Received August 27, 2025

Accepted October 3, 2025